

Figure 8 : Graphique représentant l'évolution des valeurs moyennes d'entropie de LBP & NLBP sur le gyroscope Y du capteur 0 (Th12) et le taux de variation (en %) du n-ième cycle en fonction du 1er.

Les moyennes des valeurs d'entropie d'échantillon représentées à la [Figure 8](#) exposent 2 tendances différentes entre les 2 populations. Une valeur moyenne de SampEn plus haute pour NLBP s'accompagnant d'une tendance croissante (+10.34%). Là où, LBP présente une valeur plus basse et plutôt constante (-0.06%) entre le 1^{er} et le 19^{ème} cycle.

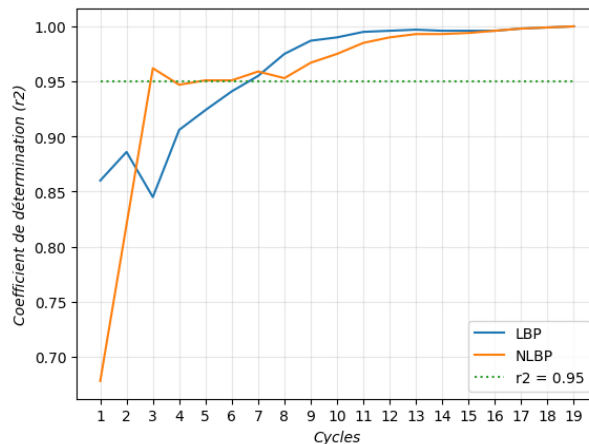


Figure 9 : Graphique représentant la convergence des valeurs moyennes d'entropie de LBP & NLBP sur le gyroscope Y du capteur 0 (Th12) à l'aide du coefficient de détermination de chaque cycle avec le dernier (19^{ème} cycle).

L'utilisation du coefficient de détermination permet d'observer la vitesse de convergence des valeurs d'entropie du 1^{er} au 19^{ème} cycle des 2 populations. La [Figure 9](#) ci-dessus permet d'observer que les 2 populations ne convergent pas de la même manière vers leur valeur de SampEn limite, atteinte au 19^{ème} cycle. En effet, les NLBP convergent beaucoup plus rapidement avec un coefficient de détermination $r^2 > 0.95$ au 3^{ème} cycle bien que ses valeurs soient plus faibles au 1^{er} cycle. Contrairement à LBP dont la valeur au 1^{er} cycle